

日本大学理工学部 正員 久室雅史

会員 竹沢三雄

石川島播磨重工業K.K. 勉助豊久

1. 研究の概要

鉛直壁に作用する波力は、一般に、波が重複波の場合にはサンフルード式、碎波の場合には広井式、碎波後の波については本間・堀川式などと波の種類などで区別して使用されているが、実際には波の種類のほかに、海面勾配、碎波の形、構造物の位置と形、その他の要素によって相違するので理論的な計算はきわめて難解である。

本研究は深水域から決ままで、一連の波に関して連続的に波力を取りあつかうのが実用的であるという考え方から波力をすなわち全波压を、その構造物の波のうちあげ高さに応ずる値 (R_s) によって示そうとしたものである。

静水面以上の鉛直滑面壁の波力に関しては、波力とうちあげ高 (R) による三角形分布の静水圧的表示法によつて実験的にかなり正確しく示されることを既に発表した。²⁾ ここでは、海底にまで達する鉛直滑面壁に作用する波力と波のうちあげ高を求めて、それらの関係について考察する。

2. 実験

実験装置は、図-1に示すように長さ25m、幅0.75m、深さ1.0mで一端に周期T = 0.8~3.4secのラップ式造波機を有する片面ガラス張りの鉄筋コンクリート製2次元造波水槽である。鉛直壁としては幅700mm、高さ700mm、厚さ6mmの鋼板を用い、これを鋼製アーム(50×30×600)にとりつけ鉛直壁に生ずる全波力は、アームの2点間にストレインゲージを貼りつけたブリッジ回路を組み、波力によって生ずるこの2点間のモーメントの差を電磁オシログラフに記録させることによって求めた。³⁾ 実験波は、波高H = 2.4~21.6cm、周期T = 0.98~3.5secであり、模型壁より前脚水深をh = 0~22.5cm(10種類)とした。波高Hは鉛直壁の沖側10.5mの位置でビデオカメラを用いて録画し、再生画像から4波目~6波目の3波平均を用いた。また、鉛直壁への波のうちあげ高さRについては、16mmシネカメラによるフィルムから波高と同様に4波目から6波目までの波のうちあげ高の平均である。一方、波力については、4波目~6波目の3波の平均であるが、碎波の波力についてはピーコ波力と腰掛部波力を読みこよこととした。

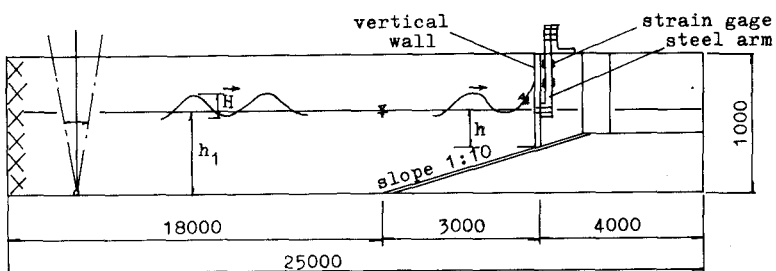


図-1 実験装置(単位mm)

ゲージを貼りつけたブリッジ回路を組み、波力によって生ずるこの2点間のモーメントの差を電磁オシログラフに記録させることによって求めた。³⁾ 実験波は、波高H = 2.4~21.6cm、周期T = 0.98~3.5secであり、模型壁より前脚水深をh = 0~22.5cm(10種類)とした。波高Hは鉛直壁の沖側10.5mの位置でビデオカメラを用いて録画し、再生画像から4波目~6波目の3波平均を用いた。また、鉛直壁への波のうちあげ高さRについては、16mmシネカメラによるフィルムから波高と同様に4波目から6波目までの波のうちあげ高の平均である。一方、波力については、4波目~6波目の3波の平均であるが、碎波の波力についてはピーコ波力と腰掛部波力を読みこよこととした。

3. 実験結果および考察

図-2は波のうちあげ高R(cm)と単位幅当たりの全波力P(g/cm)の関係をプロットしたもので、この実験結果によるとかなりのバラツキはあるが、傾向として、波のうちあげ高Rと全波力Pの平方根とは相関があるようである。したがって、全波力Pは

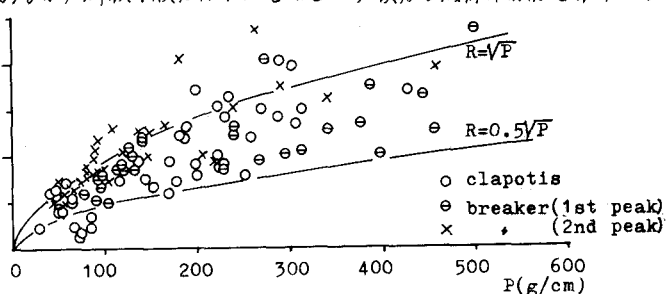
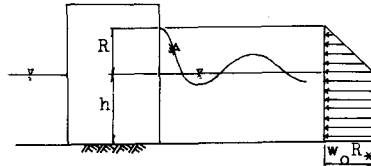


図-2 波のうちあげ高Rと全波力Pの関係

波のうちあげ高Rを表わしてもよいことになる。そこで、図-3に示すように波圧の特性を表わすパラメータとして波のうちあげ高さ R_* を用い、波のうちあげ高Rを頂点とする静水圧分布(三角形分布)として仮定すると全波圧Pは

$$P = \frac{1}{2} w_0 R_*^2 + w_0 R_* h \quad (1)$$



となり、波圧Pと水深hから波圧に關係するうちあげ高 R_* は、

$$R_* = (h^2 + 2P/w_0)^{1/2} - h \quad (2)$$

である。いま、 $R_* = R$ として $R_* + h$ に対して $(h^2 + 2P/w_0)^{1/2}$ をプロットすると図-4のようになり、波のうちあげ高Rを使用して、波形の変化に応じて波圧を連續的に取りあつかうと実験結果とかなりよく合う。図-5は相当冲浪波形勾配(H'_0/L_0)に対する(1)式の波圧に關係する波のうちあげ高 R_* と実測されたうちあげ高Rの比(R_*/R)を示したもので、波形勾配がかなり小さく範囲では $R_* > R$ となる場合もあるが $0.01 < H'_0/L_0 < 0.1$ では碎波による衝撃波力を除くと $R_* < R$ となり、(1)式を満足することになる。図-6は、相対水深(h/L_0)と波のうちあげ高比(R_*/R)の關係を示したもので、この場合も碎波による衝撃波力を除くと水深が比較的浅い場合を除けば $R_* < R$ となる。

4. 結び

以上の実験結果から鉛直壁に作用する波圧の作用高は波のうちあげ高Rとし、このうちあげ高Rを頂点とする静水圧分布として波圧分布を示すことでき合理的な設計波圧を期待することができる。もしもこのようなら考えが定性的に成立するとなれば、構造物の波力の減衰には、波のうちあげ高をできるだけ小さくするようしなければならない。最後にこの実験を行つにあたり了承協力度いた東光コンサルタント(株)に対し感謝の意を表したい。

参考文献

- 1) 橋本況蔵: 深水波と斜波の波の関連性に関する考察、物探調査技術集(1974)
- 2) 岸谷洋次: 波動附近的波圧分布について、物探海岸工学論文集(1974)
- 3) 森井倫生、持田義作、金田良実: カーテン防波堤との特性について、港研報告 Vol.3, No.1, 1964

図-3 波圧分布図

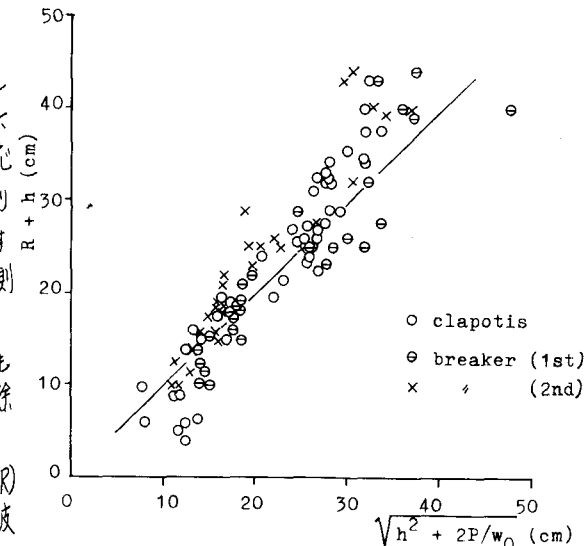


図-4 $(R+h)$ と $\sqrt{h^2 + 2P/w_0}$ の關係

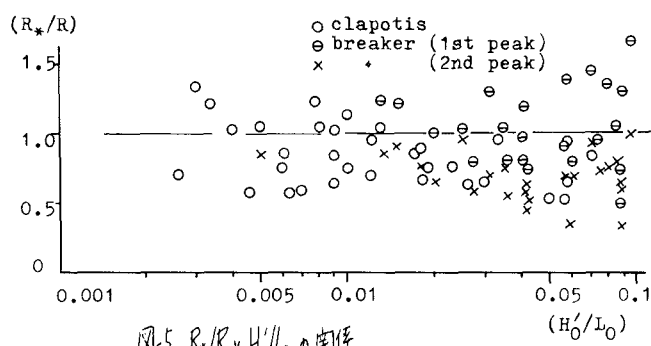


図-5 R_*/R と H'_0/L_0 の關係

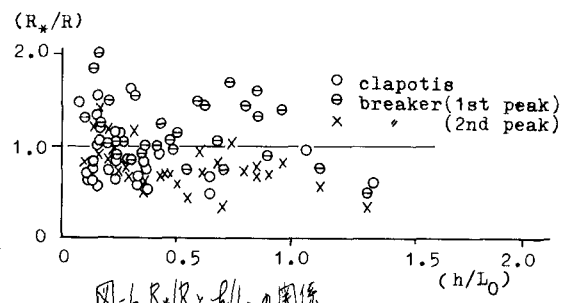


図-6 R_*/R と h/L_0 の關係